

乾燥砂の三主応力制御試験

東北大学 工学部 河上房義
 東北大学 工学部 諸戸靖史
 東北大学 工学部 河上房義

はじめに 三主応力制御試験機は、異なる三主応力を供試体に加えることが可能であるため、従来の円筒型三軸装置では不可能である。三主応力下の強度特性や応力-歪関係などに対して、有益なデータを提供しなくてはならない。以下では、新しく製作した三主応力制御試験機の概略と、この試験機により得られた三主応力下の乾燥砂の強度特性について報告する。

装置の概略 Fig.1は三主応力制御試験機の三軸室の概略図である。特徴とするところは、中を水で満たした Rubber bag を通して $10\text{cm} \times 10\text{cm} \times 10\text{cm}$ の立方供試体に応力が作用しなくてはならない。この為、①供試体に均一な応力を作用しなくてはならない。②中間主応力の大きさを自由に变化しなくてはならない。等が本装置の長所である。供試体と支切り骨組の間の隙間は、供試体の変形を考慮するなすどうしても必要である。その為、異なる圧力の Rubber bag がこの隙間と直接接触するに任せるが、接触する可能性のある部分を特に補強するに任せる。差圧による Rubber bag の破れを防止しなくてはならない。応力はブルドン管の目盛りより読み、一方各主方向の変形量は、各 Rubber bag への水の出入りから、体積変化は先端部にポラス・ストーンとシリカゲル管を通して測定する。

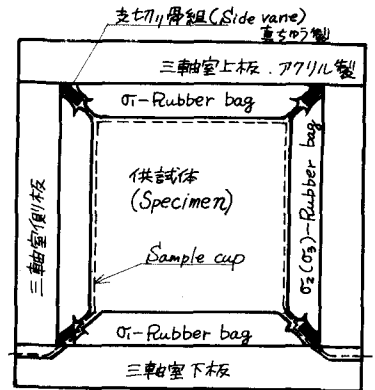


Fig.1 装置の概略

実験方法 実験に用いた試料は、乾燥状態の密度 ($e_0=0.65$) の豊浦標準砂である。供試体をセットした後、等方応力状態のまま各主応力を $1\% \text{cm}^2$ まで上昇させ、その後平均主応力が $1\% \text{cm}^2$ の条件下で破壊に至るまで断せしめる。各 stress path についてあらかじめ表を複製しておき、それ以外の応力点に変化量が止むのを待って、次の応力点に進む。stress path は μ (Lode angle $\mu = \frac{2\sigma_1 - \sigma_2 - \sigma_3}{\sigma_1 - \sigma_3}$, $\sigma_1 \geq \sigma_2 \geq \sigma_3$) - 一定の他に、破壊曲線への stress path 依存性を調べる為、複雑な経路もとっていき、最大主応力の働いている面(本実験では常に鉛直方向が σ_1) に途中で最小主応力が働くというように、応力が回転する経路をとっていき、円平面を言えば、圧縮 ($\mu=-1$) と伸張 ($\mu=+1$) の 60° の範囲のみに限定していき。

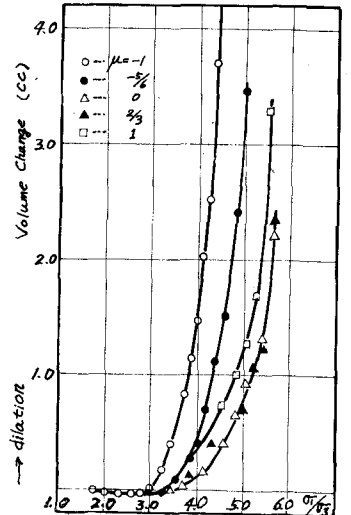


Fig.2 体積変化-応力比関係

実験結果及び考察 体積変化速度がそれぞれどの応力点における速度と比べて、それぞれ大きく、かつ変化が止むのにかなりの時間を要する応力点をもつて破壊とせざる。この応力点では、ほとんどの試験と同時に土り面の発生がみられた。

(強度特性) Fig.2は μ -一定試験の代表的な結果を $\Delta V - \frac{\sigma_1}{\sigma_3}$ 関係で整理したものである。 $\mu = -\frac{1}{2}$ から $\frac{1}{2}$ (ただし Fig.2では $\mu = -\frac{1}{2}, -\frac{1}{3}, \frac{1}{3}$ の結果は省略してある) の範囲では、体積変化は $\frac{\sigma_1}{\sigma_3}$ のみで大体整理でき、破壊時の応力比 $(\frac{\sigma_1}{\sigma_3})_b$ もほぼ等しい値となつていく。しかし $\mu = -1$ と $-\frac{1}{2}$ は $(\frac{\sigma_1}{\sigma_3})_b$ 並びに体積変化量の点で他の μ -一定試験とは

様相が若干異なる。μ=1では、体積は最も大きい。逆に(σ₃/σ₁)は最も小さい。破壊時におけるσ₃方向の変形量を示したのが Fig. 4 である。μの方向の部分(μ=-0.6~+0.4)で平面ヒズミ状態に近い変形をしていることがわかる。平面ヒズミ試験では、μは変形に伴って変化したが、豊浦砂を用いた市原、松沢の平面ヒズミ試験とも照合してみると μ=0.5付近に平面ヒズミ状態があることは、半定量的結果である。Fig. 3の強度定数(内部摩擦角)を $\phi = \sin^{-1} \left(\frac{(\sigma_3/\sigma_1) - 1}{(\sigma_3/\sigma_1) + 1} \right)$ より求め、μに対してプロットしたものである。φはμ=1で最小(約40°30')をとり、μ=-0.6~0.7付近まで増加する。その後は、一定のまま(約44°30') μ=+1に至る。μ=+0.7付近から若干減少する気配もみられるが、μがほぼ一定とみなせよう。従って本実験では伸張と圧縮でφは一致する。μ一定試験より求めた破壊曲線は径路に依存しない。つまり最終的応力状態のみで決定されるものである。これを調べた為、Fig. 3に示すようなμ一定とはかなり異なる4通りの径路を用いて試験をした。結果は白丸で示してあるが、μ一定試験でも得られた結果とほぼ一致している。φ-μ関係について今までの発表されたものを調べた場合、ほぼ2つに分類できる(Fig. 5) 一方はμ=-1から-0.5付近まで増加し、その後は一定である結果(Green⁽²⁾, 筆者等) 他方は、一旦は増加したが、その後は減少し圧縮と伸張でφが等しくなる結果(Sutherland⁽³⁾他、松岡の提案式)である。この2つに途中までは一致しているのに、伸張状態に近づくにつれてφが異なる原因は、装置そのものの影響の他に、初期異方性やφ(σ₃)に対する応力値、特にσ₃の誤差の影響(この影響は三軸圧縮に近づく程小さくなる)が考えられるのではないだろうか。

(2) 破面形状 本実験では、ほとんどの実験でスベリ面の発生がみられた。破壊したと思われた応力床で載荷をストップし、0.2kg/cm²の等方状態で除荷した。真空成形を繰り返して、三軸室上板、側板を取りはがすとにより、スベリ面の発生をみることをできた。その特徴は、μ=-1, +1以外のμ一定試験では、スベリ面がσ₃方向と平行に発生したとである。Fig. 6にスベリ面の形状及びφが傾く面との角度を示したが、角度は65°~67°のものが多かった。45°±5°=65°~67°よりφを求めると φ=40°~44°となり、破壊値より求めた内部摩擦角φとよく一致を示す。この傾向は Cornforth⁽⁵⁾の平面ヒズミ試験でもみられた。注意しなくてはならないことは、発生領域が断面の高さの割合に限定されたことである。これは Rubber bagを通じて載荷した為と思われ、今後は、実験装置の相違がどのように影響するのかが、今後の検討を待たねばならない。

尚 本研究は昭和48年度文部省科研費の援助に依るものであることを付記する。

参考文献

- (1) 市原、松沢：平面ヒズミ状態と軸対称ヒズミ状態における剪断破面の発生特性 土木学会論文報告集 No.173, 1970, P.97~59
- (2) Green: Proc. of Roscoe Memorial Symposium 1971, P.285~323 (on the Strength)
- (3) Sutherland and Mesdary: The influence of the Intermediate Principal Stress of Sand Proc. 7th. ICSMFE, 1969, P.391~399
- (4) 松岡、中井：木田異方土の力-変形関係と降伏条件、第9回土壌工学研究発表会、1974、P.163~166
- (5) Cornforth: Some experiments on the Influence of Strain Condition on the Strength of Sand Geotechnique, 1964, P.15~166

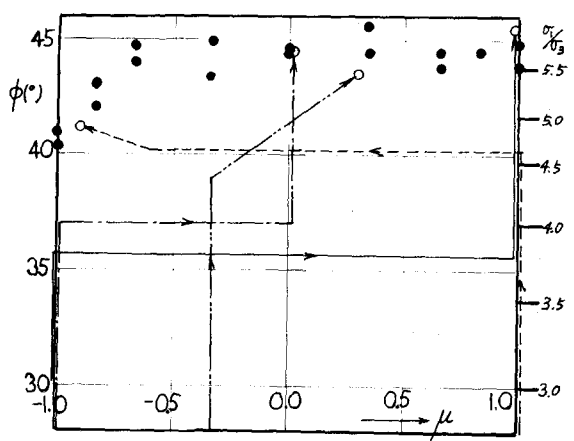


Fig. 3 内部摩擦角及び応力径路

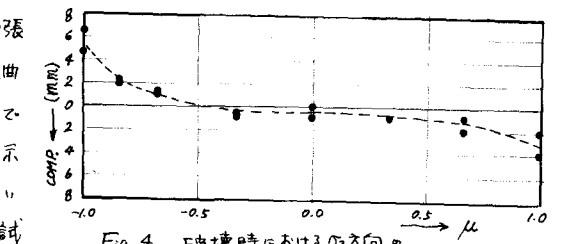


Fig. 4 破壊時におけるσ₃方向の変形量

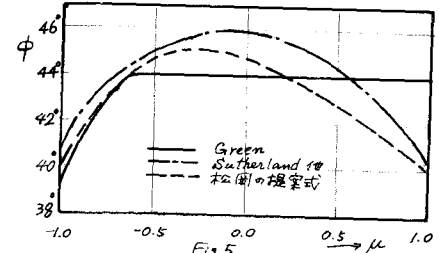


Fig. 5

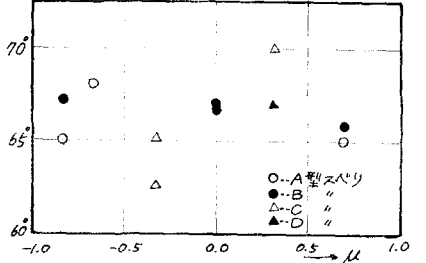
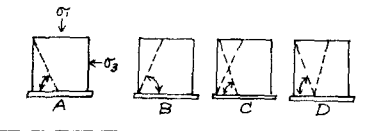


Fig. 6 スベリ面の形状及び傾角